

半導體레이저의 高調波 찌그리짐 特性 과 係數值 決定에 關한 研究

申 哲 浩

A Study on Harmonic Distortion characteristics
and the Determination of Dynamic Parameters of
Laser Diodes

Chul-ho Shin



Abstract

記號說明

1. 序 論
 2. 理論解析
 - 2.1. 레이저 方程式
 - 2.2. 高調波찌그리짐 特性의 解析方法
 - 2.3. 數值計算
 3. 半導體레이저의 動作係數의 決定
 - 3.1. 實 驗
 - 3.2. 係數值의 決定과 檢討
 - 3.2.1. 自然放出光係數 C
 - 3.2.2. 캐리어 壽命 τ_s
 - 3.2.3. 光子壽命 τ_p
 4. 變調찌그리짐 特性
 - 4.1. 變調信號電流 찌그리짐의 影響
 - 4.2. 變調度의 影響
 5. 結 論
- 參考文獻

ABSTRACT

The harmonic distortion characteristics of laser diodes have been studied, and dynamic parameters of laser diodes that are the carrier lifetime τ_s , the spontaneous emission factor C and the photon lifetime τ_p are estimated by fitting the theoretical results to the experimental ones of the harmonic distortion characteristics. The analysis was carried out by means of the Fourier series expansion method of rate equations for the harmonic distortion characteristics of laser diodes.

Concluding remarks of this paper are as follows;

1) Values of C and τ_s were determined as $(2-6) \times 10^{-5}$ and $\sim 1.2\text{ns}$ respectively from the frequency characteristics of harmonic distortions at the bias level below the threshold current (I_{th}). The value of τ_p also was determined as about 1.2 ps at the bias level above the threshold current.

2) The signal distortion for the high quality analog video transmission should be less than about -70 dB.

3) The analog modulation bandwidth could be obtained above 120 MHz under conditions if the bias level is above $1.3 I_{th}$ and the modulation depth is less than 50%.

記號說明

a_{ij} :	行列要素	I_0 :	바이어스 電流
c :	光速	I_p :	印加한 펄스의 電流
C :	自然放出光係數	I_{th} :	發振開始電流
C_i :	i 次 모우드의 自然放出光係數	j :	注入電流密度
d :	活性層의 두께	j_m :	變調信號電流密度
D :	캐리어의 橫方向 擴散係數	j_{th} :	發振開始電流密度
e :	電子의 電荷量	J :	規格化 電流密度
E :	電場의 세기	J_m :	規格化 變調信號電流 密度
$ E(x) ^2$:	規格化 電界分布	J_{mq}^c :	規格化 信號電流의 q 차 高調波 cosine 成分
f :	變調 周波數	J_{mq}^s :	規格化 信號電流의 q 차 高調波 sine 成分
g :	레이저의 利得係數		

J_0 : 定常狀態에서의 規格化 電流密度	S_q^s : 규격화 광자밀도의 q次 高調波 sine 成分
k : 계산 반복 회수	t : 時間
K_0 : 非線形項으로부터 나오는 直流成分	t' : 規格化 時間
L : 擴散長	V : 活性層의 體積
L_r : 共振器長	w : 活性層의 幅
m : 變調度	x, y, z : 座標軸
n : 캐리어 밀도	α : 内部的 光損失
n_1 : 屈折率	λ_c : 中心波長
N : 規格化 캐리어 밀도	$\Delta\lambda$: 스펙트럼 半值幅 (HMFV)
N_0 : 定常狀態에서의 規格化 캐리어 밀도	ξ_i : i次 모드의 optical field confinement factor
N_q^c : 規格化 캐리어 밀도의 q차 高調波 cosine 成分	τ_d : 發光遲延時間
N_q^s : 規格化 캐리어 밀도의 q차 高調波 sine 成分	τ_p : 光子的 壽命
R : 斷面의 反射率	τ_s : 캐리어의 壽命
s : 光子密度	T : $= \tau_s / \tau_p$
S : 規格化 光子密度	ω : 角周波數
S_0 : 定常狀態에서의 規格化 光子密度	$\bar{\omega}$: 規格化 角周波數
S_q^c : 규격화 광자밀도의 q次 高調波 cosine 成分	ω_r : 共振狀 周波數



1. 序 論

半導體레이저 (laser diode, injection laser, semiconductor laser) 는 數10~數100cm¹의 큰 利得係數를 손쉽게 얻을 수 있어서 共振器의 크기를 아주 작게 할 수 있고, 1,2) 5~20%의 높은 에너지 變換効率¹⁾, 高速의 直接變調 容易, 大量 生産과 集積化 可能 等の 여러 長點을 갖고 있다. 그리고, 性能이 改善됨에 따라 LD의 實溫平均壽命은 10만~100만 時間을 實用레벨로 보고 있으며, 3) 發振開始電流值(threshold current: I_{th})는 二重 hetero構造와 스트라이프狀 電極의 채용에 따라 20~50 mA 程度,⁴⁾ 活性層幅 1~2 μm의 BH (Buried Hetero-Structure)-LD는 10~30 mA 程度로서 低電流動作을 한다.³⁾ 橫모우드制御된 LD는 發光다이오드(LED) 以上으로 電流對 光出力(I-L) 靜特性的 直線성이 좋아졌다.^{5,6)} 그래서, LD는 光通信用 光源으로서 絶對的인 地位를 占하고 있다.

아날로그 비디오 傳送系는 디지털 비디오 傳送系에 比하여 裝置가 훨씬 簡單하고, 費用이 작게 들기 때문에 많은 觀心을 모으고 있으며, LD가 넓은 變調帶域幅을 가지므로 HF, VHF 대의 變調信號를 傳送할 수 있게 한다.⁷⁾

LD의 直接光強度變調는 수 GHz 程度까지, 内部損失 變調法을 利用하면 10 GHz 以上도 可能하다.⁸⁾ InGaAsP LD는 1.3 I_{th} 以上の 바이어스에서 2.5 GHz의 變調가 可能하고,⁹⁾ 構造에 따라 300 Mbit/s ~ 2 Gbit/s의 범위에서 各各 다른 變調可能上限度를 보인다.¹⁰⁾ 그리고, 商用 GaAlAs LD의 實用 아날로그 最大밴드幅은 5GHz 程度로 보고 되어 있다.¹¹⁾ 그러나, color TV 信號 傳送時 아날로그 信號의 光出力에 2次, 3次 高調波 찌그러짐(2nd, 3rd Harmonic Distortion: 以下 HD₂, HD₃ 등으로 略稱)이 크면, 畫質이 變하게 된다.⁵⁾ 그리고, 아날로그 變調를 爲한 商用LD의 高調波찌그러짐 特性 實驗例를 보면 變調周波數 100 MHz, 變調度 70%에서 HD₂, HD₃가 各各 -48dB, -45dB 程度였다.³⁾ 良質의 아날로그變調에서 HD₂, HD₃가 약 -50dB 以下로 억제되어야 함을 감안하면, HD에 의하여 아날로그變調帶域幅이 크게 制限된다는 것을 알 수 있다. 그러므로 아날로그 變調를 위하여는 LD의 HD 特性에 對한 면밀한 검토가 이루어져야 하겠다.

HD特性은 LD의 動作係數들, 自然放出光係數C, 캐리어壽命τ_s, 光子壽命τ_p 등에 의하여 크게 影響을 받으므로, 이들 係數의 값이 定量的으로 決定되어야 할 必要가 있다. 係數值 決定方法을 살펴보면, C는 理論式,¹²⁾ I-L 特性¹³⁾ 및 HD₃ 바이어스特性을 利用하여 求할 수 있고,¹⁴⁾ τ_s를 求하는데는 發光遲延時間τ_d를 利用하는 方法,¹⁵⁾ τ_p와 共振狀 周波數(resonance-like frequency) ω_r를 利用하는 方法¹⁶⁾ 및 HD₃ 周波數 特性의 기울기를 利用하는 方法이 使用되며,¹⁷⁾ τ_p는 理論式에 依하여 求할 수 있다.¹⁸⁾ 以上과 같이 여러 方法이 있으나, 理論式을 利用하는 경우는 LD의 여러 物理的 파라메터를 미리 精밀하게 測定하여

이 되고, ω_p 은 대략 100 GHz 程度の 高調波變調 實驗의 高調波의 周波數인 爲한, ω_p 附近의 周波數에 對한 1ms 程度の 짧은 時間의 正確하게 測定되어야 하는 複雜性을 有한다.

그러나, 本論文에서는 上記의 問題點을 解決할 可한 LD 動作係數值 決定을 爲한 새로운 方法을 提示하였다. 拜어하스電流 $I_0 < I_{th}$ 에서의 HD 周波數 特性을 利用하여 C 와 τ_p 의 値을 결정하였으며, $I_0 > I_{th}$ 에서의 HD 周波數 特性을 利用하여 τ_p 와 C 의 値을 決定하였다. $\tau_p = \tau_p(I_0)$ 의 關係를 利用하여 τ_p 의 값도 求할 可하였다.

信號電流에 저크리질에 對한 HD 特性의 大 影響이 있다는 것은 알려져 있으나, 定量的인 限界는 提示된 바가 없으므로, 數置 計算에 依하여 良質의 光에 對한 傳送을 爲한 變調에 對하여 信號電流 저크리질을 -70 dB ($0.0003 I_{th}$) 以下로 抑制에이 限을 定하였다. 그러고, 變調度가 HD 特性에 미치는 影響을 검토함으로써, 拜어하스 $1.5 I_{th}$, 變調度 10%에 對한 變調帶域幅은 ~ 130 MHz 임을 알 可하였다.

本論文은 5 개의 章으로 構成하였는데, 2 章은 HD 特性의 理論解析, 3 章은 HD 특성을 利用한 LD의 動作係數 決定, 4 章은 信號電流 저크리질과 變調度의 影響, 그리고 5 章에서는 本 研究를 總정리하여 結論을 맺었다.



2. 理論解析

2-1. 레이트 方程式

固體레이저나 氣體레이저는 에너지 準位間의 遷移에 依하여 光을 放出하지만, LD는 많은 數의 準位들의 集合體인 밴드間의 遷移에 依하여 發光을 하기 때문에, 레이트 방정式으로 LD의 動作을 嚴密하게 表現하는 것은 無理이다. 그러나, 밴드內의 出空·電子의 緩和時間이 $10^{-12} \sim 10^{-13}$ sec 程度에서 이보다 充分히 낮은 速度의 變調를 하였을 때에는 캐리어가 밴드內에서 定常分布를 하고 있다고 생각되므로,¹⁹⁾ 캐리어와 放出된 光子는 時間과 에너지의 平均値만 取扱하여도 된다.

그럼 1과 같이 光의 進行軸을 z , 接合面에 垂直인 方向을 y , 水平인 方向을 x 로 잡는다.

다 되고, ω_p 을 대수 1차의 (G) 係의 高調波變調 實驗의 結果에서 ω_p , ω_{th} 을 算出하고, ω_p 는 1ns 程度의 짧은 時間에 正確하게 測定되어야 하는 複雜성을 반영하고 있다.

그에서, 本論文에서는 上記의 問題點을 克服 할 수 있는 LD 動作係數值 決定을 爲한 새로운 方法을 提示하였다. 바이어스電流 $I_b < I_{th}$ 에서의 HD 周波數 特性을 利用하여 ω_p 와 ω_{th} 의 關係를 算出하였고, $I_b < I_{th}$ 에서의 HD 周波數 特性을 利用하여 ω_p 와 ω_{th} 의 關係를 算出하였고, $\omega_p = \omega_{th}$ 의 關係를 利用하여 ω_p 의 값도 算出 할 수 있었다.

信號電流에 찌크리깅이 있는 LD 特性의 算 影響이 있다는 것은 알려져 있으나, 定量的인 界限은 提示된 바가 없으므로, 數値 計算에 依하여 良質의 아테오 傳送을 爲한 아테오 變調에 있어서 信號電流 찌크리깅은 -70 dB ($0.0003 I_{th}$) 以下로 抑制해야 하는 事實이 算出 되었다. 그리고, 變調도가 HD 特性에 미치는 影響을 검토함으로써, 바이어스 $1.5 I_{th}$, 變調도 10%에서와 아날로그 變調帶域幅은 ~ 120 MHz 임을 알 수 있었다.

本論文은 5 개의 章으로 構成하였으며, 2 章은 HD 特性의 理論解析, 3 章은 HD 高調波를 利用한 LD 的 動作係數 決定, 4 章은 信號電流 찌크리깅과 變調도의 影響, 그리고 5 章에서는 本 研究를 총정리하여 結論을 맺었다.

2. 理論解析

2-1. 레이저 方程式

固體레이저나 氣體레이저는 에너지 準位間의 遷移에 依하여 光을 放出하지만, LD는 많은 數의 準位들의 集合體인 밴드間의 遷移에 依하여 發光을 하기 때문에, 레이저 방향적으로 LD의 動作을 嚴密하게 表現하는 것은 무리이다. 그러나, 밴드內의 空穴·電子의 緩和時間이 $10^{-12} \sim 10^{-13}$ sec 程度에서 이보다 充分히 낮은 速度의 變調를 하였을 때에는 캐리어가 밴드內에서 定常分布를 하고 있다고 생각되므로,¹⁹⁾ 캐리어와 放出된 光子는 時間과 에너지의 平均值만 取扱하여도 된다.

그림 1과 같이 光의 進行軸을 z , 接合面에 垂直인 方向을 y , 水平인 方向을 x 로 잡는다. 共振器의 z 的 方向에서는 定在波의 光強度가 $\sin^2(2\pi yz/\lambda)$ 的 形으로 變動한다. 이의 變動 周期 $\lambda/2\pi$ 는 波長 λ 가 $0.8 \sim 1.6 \mu\text{m}$ 인 LD에서 $0.1 \sim 0.2 \mu\text{m}$ 程度이며,²⁾ 活性層의 두께도 $0.1 \sim 0.2 \mu\text{m}$ 로^{1), 5)} 캐리어의 擴散長 $1 \sim 3 \mu\text{m}$ ^{1), 2)}에 比하면 1/10 정도에 불과하므로, y, z 方向에 對한 호흡을 擴散에 依하여 없어진다고 보아도 解析上 문제없다.

레이저 方程式은 이러한 假定下에서 LD의 動作 特性을 나타낸 것으로서, 注入된 캐리어와 放出되는 光子의 時間 變化率을 現像論的으로 記述하는 한 쌍의 微分方程式이다. 그림 2는 단

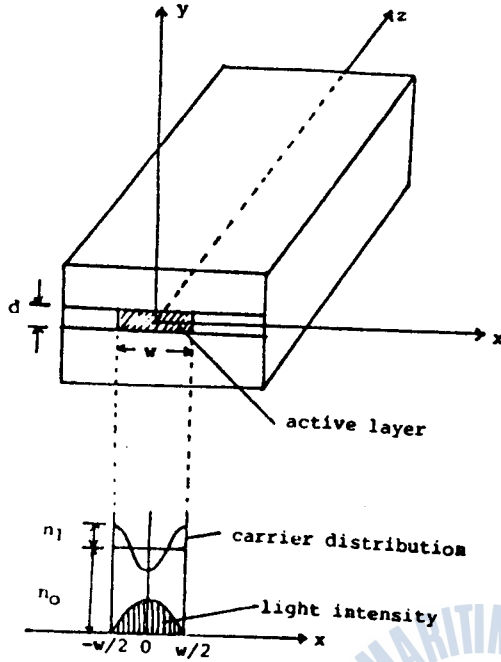


Fig.1. Model of the rectangular laser cavity and distribution of the carrier and field intensity.

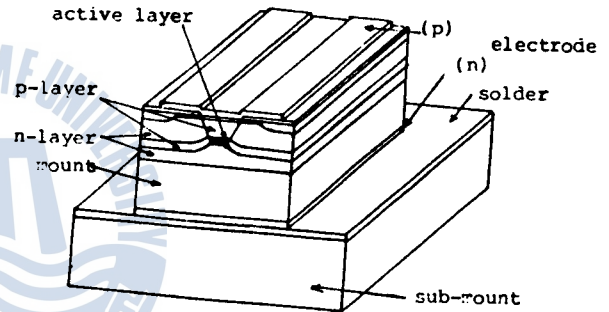


Fig.2. Schematic diagram of the narrow stripe BH laser diode.

일 모우드로 發振되는 BH-LD의 代表的인 構造를 나타내며, 이런 形態의 LD가 本論文에서 使用하는 레이트 方程式에 의한 解析 結果와 比較的 잘 맞는다.

가장 簡單한 型式의 레이트 방정식은 문헌(20)에서 解析方法과 함께 잘 紹介되어 있고, 各種 解析에 여러 型式의 레이트 方程式이 使用되고 있으나,^{14,21-28)} 代表的인 單一모우드 레이트 방정식은 다음과 같다.^{26,28)}

$$\frac{\partial}{\partial t} n(x, t) = \frac{j(x, t)}{ed} - \frac{n(x, t)}{\tau_s} + D \frac{\partial^2}{\partial x^2} n(x, t) - g |E(x)|^2 n(x, t) \dots\dots\dots(1)$$

$$\frac{ds}{dt} = (gs + \frac{C}{\tau_s}) \int_{-\infty}^{+\infty} |E(x)|^2 n(x, t) dx - \frac{s}{\tau_p} \dots\dots\dots(2)$$

아인슈타인에 의해 밝혀진 擴散長 L과 τ_s 의 關係式은

$$L = \sqrt{D\tau_s} \quad \therefore D = L^2 / \tau_s \dots\dots\dots(3)$$

이고, 그림 1에서 表現된 바와 같이

$$n(x, t) = n_0(t) - n_1(t) \cos \frac{2\pi x}{w}$$

$$\int_{-\frac{w}{2}}^{\frac{w}{2}} |E(x)|^2 dx = 1, \quad E(x) = E_0 \cos\left(\frac{\pi x}{w}\right), \quad E_0 = \sqrt{2/w} \quad \dots\dots\dots(4)$$

라 假定할 수 있으므로, 이들을 (1), (2) 式에 代入하고, 양변에 $\cos(2\pi qx/w)$ (단, $q=0, 1$)을 곱한 다음, 活性層幅 w 에 걸쳐 空間積分을 하면, 空間에 獨立인 레이트 方程式을 얻을 수 있다.^{29,30)}

$$\frac{dn_0}{dt} = \frac{j}{ed} - \frac{n_0}{\tau_s} - gs(n_0 - \frac{n_1}{2})/w \quad \dots\dots\dots(5)$$

$$\frac{dn_1}{dt} = gs(n_0 - n_1)/w - hn_1/\tau_s \quad \dots\dots\dots(6)$$

$$\frac{ds}{dt} = \{g(n_0 - \frac{n_1}{2}) - \frac{1}{\tau_p}\}s + C(n_0 - \frac{n_1}{2})/\tau_s \quad \dots\dots\dots(7)$$

단, $h = 1 + (\frac{2\pi l}{w})^2$

2-2. 高調波 찌그리짐 特性的의 解析方法

2-1의 레이트 方程式에서 導入한 캐리어의 橫方向 擴散이 LD의 變調特性에 미치는 영향은 高周波 變調領域에서, 特히 共振狀 周波數 附近에서의 光出力을 크게 억제하는 것이다. 그러므로, 現實的으로 共振狀 周波數 附近의 高周波 變調에 利用할 수 없는 아날로그 비메오 傳送에 있어서, LD特性을 解析하는 데는 橫方向 擴散效果는 無視하여도 큰 문제는 없으리라 생각되며, 실제로 LD의 특성 해석에 擴散效果를 無視한 레이트方程式이 많이 使用되고 있다.^{8,14,20,27,31)}

캐리어의 擴散效果를 無視하면 (5)~(7)式은 다음과 같이 簡單한 한쌍의 레이트 方程式이 된다.

$$\frac{dn}{dt} = \frac{j}{ed} - \frac{n}{\tau_s} - gns \quad \dots\dots\dots(8)$$

$$\frac{ds}{dt} = gns - \frac{s}{\tau_p} + C\frac{n}{\tau_s} \quad \dots\dots\dots(9)$$

$n_{th} = 1/(g\tau_p)$, $j_{th} = \frac{ed}{\tau_s} n_{th}$ 를 이용하여 (8), (9)式을 規格化하면,

$$\frac{dN}{dt} = J - N - TNS \quad \dots\dots\dots(10)$$

$$\frac{dS}{dt} = TNS - TS + CN \quad \dots\dots\dots(11)$$

$$\text{단, } J = j/j_{th}, \quad S = s/n_{th}, \quad N = n/n_{th}$$

$$T = \tau_s/\tau_p, \quad t' = t/\tau_s$$

이 된다. (0), (1) 式의 定常解 ($\frac{d}{dt'} = 0$) 를 求하면 靜特性上的 規格化 캐리어 密度 N_0 와 規格化 光子密度 S_0 는 다음과 같다.

$$N_0 = \frac{J_0 + 1 - \sqrt{(1-J_0)^2 + 4\{C(J_0-K_0)+K_0\}}}{2(1-C)} \dots\dots\dots (12)$$

$$TS_0 = J_0 - N_0(1-C) \dots\dots\dots (13)$$

$$\text{단, } K_0 = \sum_{q=1}^{\infty} (N_q^c S_q^c + N_q^s S_q^s)$$

$$N_q^{c,s} = n_q^{c,s}/n_{th}, \quad S_q^{c,s} = s_q^{c,s}/n_{th}$$

여기서 K_0 는 N 과 S 의 積 (非線形 項) 으로 부터 나오는 直流 成分을 나타낸다.³¹⁾

本論文에서는 HD特性 解析에 Fourier 級數 展開法^{30,31)}을 利用하기로 한다. J, N, S 를

$$J = J_0 + \sum_q \{ J_{mq}^c \cos(q\omega t) + J_{mq}^s \sin(q\omega t) \} \dots\dots\dots (14)$$

$$N = N_0 + \sum_q \{ N_q^c \cos(q\omega t) + N_q^s \sin(q\omega t) \} \dots\dots\dots (15)$$

$$S = S_0 + \sum_q \{ S_q^c \cos(q\omega t) + S_q^s \sin(q\omega t) \} \dots\dots\dots (16)$$

$$\text{단, } J_{mq}^{c,s} = j_{mq}^{c,s}/j_{th}, \quad \omega = 2\pi f$$

로 놓고, (14) ~ (16) 을 (0) ~ (1) 에 代入한 다음, 양변에 $\cos(q\omega t), \sin(q\omega t)$ 를 곱하고 各各 周期 積分을 하면, 時間에 獨立인 4元 無限次 連立 方程式이 求해진다.

$$\begin{aligned} & \{ T(1-N_0) - \frac{1}{2} TN_{2q}^c \} S_q^c + (q\bar{\omega} - \frac{1}{2} TN_{2q}^s) S_q^s - (TS_0 + C + \frac{1}{2} TS_{2q}^c) N_q^c \\ & - \frac{1}{2} TS_{2q}^s N_q^s = P_q^c + Q_q^c \dots\dots\dots (17) \end{aligned}$$

$$\begin{aligned} & -(q\bar{\omega} + \frac{1}{2} TN_{2q}^s) S_q^c + \{ T(1-N_0) + TN_{2q}^c \} S_q^s - \frac{1}{2} TS_{2q}^s N_q^c - (TS_0 + C \\ & - \frac{1}{2} TS_{2q}^c) N_q^s = P_q^s + Q_q^s \dots\dots\dots (18) \end{aligned}$$

$$\begin{aligned} & (TN_0 + \frac{1}{2} TN_{2q}^c) S_q^c + \frac{1}{2} TN_{2q}^s S_q^s + (TS_0 + 1 + \frac{1}{2} TS_{2q}^c) N_q^c + (q\bar{\omega} + \frac{1}{2} TS_{2q}^s) \\ & N_q^s = J_{mq}^c - (P_q^c + Q_q^c) \dots\dots\dots (19) \end{aligned}$$

$$\begin{aligned} & \frac{1}{2} TN_{2q}^s S_q^c + (TN_0 - \frac{1}{2} TN_{2q}^s) S_q^s - (q\bar{\omega} - \frac{1}{2} TS_{2q}^s) N_q^c + (TS_0 + 1 - \frac{1}{2} TS_{2q}^c) \\ & N_q^s = J_{mq}^s - (P_q^s + Q_q^s) \dots\dots\dots (20) \end{aligned}$$

$$\text{단, } P_q^c = \frac{1}{2} T \sum_{p=1}^{q-1} (N_p^c S_{q-p}^c - N_p^s S_{q-p}^s)$$

$$\begin{aligned}
 P_q^s &= \frac{1}{2} T \sum_{p=1}^{q-1} (N_p^c S_{q-p}^s + N_p^s S_{q-p}^c) \\
 Q_q^c &= \frac{1}{2} T \sum_{p=1}^q (N_{q-p}^c S_p^c + N_{q-p}^s S_p^s + N_p^c S_{q+p}^c + N_p^s S_{q+p}^s) \\
 Q_q^s &= \frac{1}{2} T \sum_{p \neq q}^q (N_p^c S_{q-p}^c - N_p^s S_{q-p}^s + N_{q+p}^s S_p^c - N_{q+p}^c S_p^s) \\
 &\quad (q = 2, 3, 4, \dots, \quad p = 1, 2, 3, \dots) \\
 \bar{\omega} &= \omega \cdot \tau_s
 \end{aligned}$$

上記 (17) ~ (20) 을 行列로 나타내면 다음과 같다.

$$\begin{bmatrix} a_{1j} \\ \vdots \\ a_{ij} \\ \vdots \\ a_{mj} \end{bmatrix} \begin{bmatrix} S_q^c \\ S_q^s \\ N_q^c \\ N_q^s \end{bmatrix} = \begin{bmatrix} P_q^c + Q_q^c \\ P_q^s + Q_q^s \\ J_{mq}^c - (P_q^c + Q_q^c) \\ J_{mq}^s - (P_q^s + Q_q^s) \end{bmatrix} \quad \dots\dots\dots 21)$$

式 21)의 數值計算은 BASIC으로 컴파일하여 마이크로 컴퓨터 (Apple II)를 利用하였다. 數值計算은 21) 式의 完全한 解를 代數的으로 求할 수 없기 때문에 逐次近似法을 利用하였으며, 行列은 Gauss 消去法을 使用하여 計算하였다. 式은 無限次이나, 실제 계산상 불가능하므로 20 次까지만 計算하여 K_0, P_q^s, Q_q^s 를 計算하였고, 수렴조건은

$$| (S_q)_k / (S_q)_{k-1} - 1 | < 10^{-2} \quad \dots\dots\dots 22)$$

으로 하였다. 本論文에서는 非線形的인 領域을 利用하고 있지 않으므로, 以上과 같이 計算하여도 計算結果는 誤差를 거의 포함하지 않을 것이다.

2-3. 數值計算

規格화된 레이저方程式인 式(10), (11)으로부터 LD의 特性에 영향을 주는 動作係數는 C와 T임을 알 수 있다. 本論文에서는 C와 T가 LD의 HD特性에 미치는 영향을 利用하여 LD動作係數들을 推定하고자 하므로, 2-2에서 說明한 方法으로 C와 T의 變化에 따른 HD特性을 數值計算하였고, 이를 利用한 새로운 係數值 決定方法을 提示하였다.

LD에서 放出되는 光은 自然放出에 의한 것과 誘導放出에 의한 것이 섞여 있다. 原理적으로는 레이저가 發振한 후의 自然放出光의 크기가 誘導放出光에 비하여 아주 작기 때문에, J_{th} 보다 充分히 높은 電流의 動作에서는 自然放出光을 無視할 수 있다. 그러나, C의 값이 크면 緩和振動이 크게 抑制되고, HD를 낮춰주기 때문에 C係數는 LD의 動特性을 論하는데 있어서 無視할 수 없는 重要한 파라메타가 된다. (1, 5, 13, 20, 21, 24)

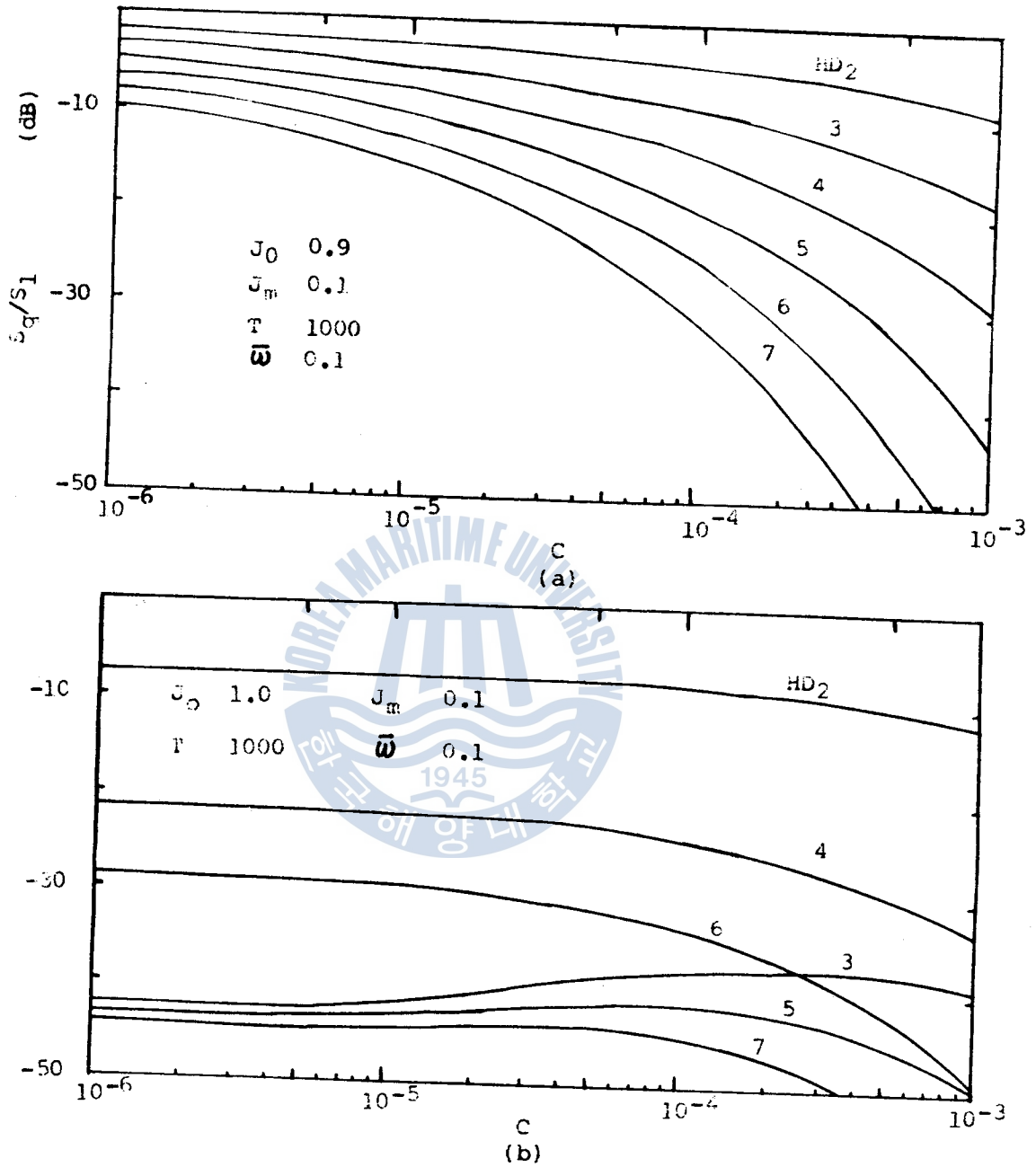


Fig.3. Calculated harmonic distortions(2nd - 7th order) with spontaneous emission factors C as a variable. Assumption: $T=1000$. (a) $J_0 (= j_0 / j_{th}) 0.9$ (b) $J_0 1.0$

그림 3 (a), (b) 는 HD 특성에 미치는 C 의 영향을 계산한 것이다. J_0 가 1.0인 경우보다 0.9인 경우에 HD 특성은 C 의 영향을 크게 받는다. 그러므로, I_{th} 이하의 低바이어스 領域

에서 C 의 값을 決定하는 것이 比較的 推定誤差가 작은 것이다. 그리고, $(J_0 + J_m) > 1$ 의 조건에서는 HD주파수 측정 부선의 복잡해지므로 다른 계수의 영향이 작은 $(J_0 + J_m) < 1.0$ 에서 C 의 決定을 위한 實驗을 하는 것이 좋다.

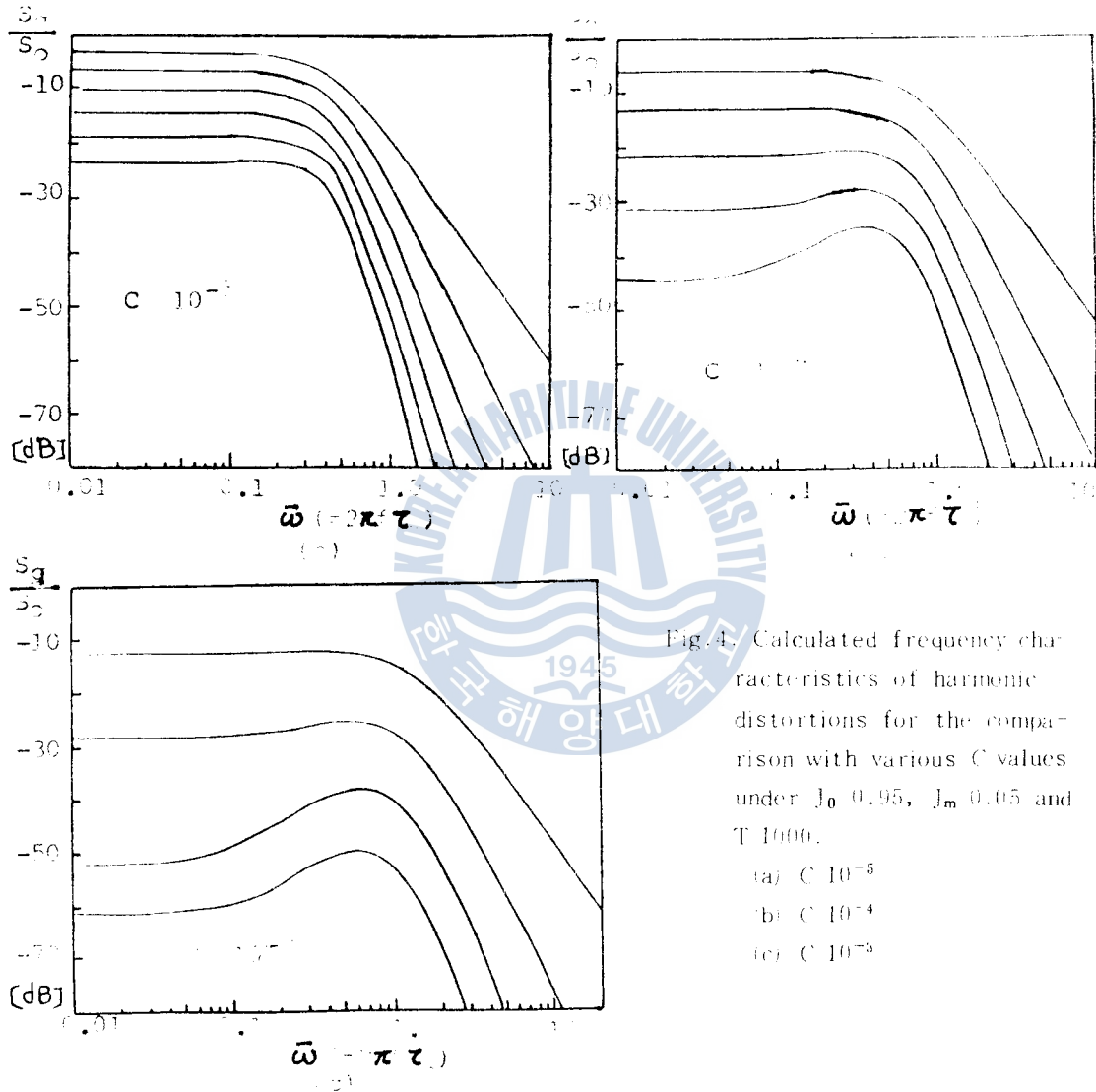


Fig. 4. Calculated frequency characteristics of harmonic distortions for the comparison with various C values under $J_0 = 0.95$, $J_m = 0.05$ and $T = 1000$.

- (a) $C = 10^{-5}$
- (b) $C = 10^{-4}$
- (c) $C = 10^{-3}$

그래서, 그림 4 (a) ~ (c)와 같이 $J_0 (= j_0 / j_{th}) = 0.95$, $J_m (= j_m / j_{th}) = 0.05$ 의 條件에서 T 를 1000으로 잡고, C 가 10^{-5} , 10^{-4} , 10^{-3} 인 경우의 HD周波數 特性을 各各 計算하였다. 그림 4에 나타난 바와 같이 C 에 의하여 큰 幅의 變化가 있을 뿐 아니라 調斷周波數도 크게 달라지므로, 實驗值와 比較하여 C 의 값을 決定할 수 있다. 또한, 規格化 周波數 $\bar{\omega} = 2\pi f\tau$ 이므로 $\bar{\omega}$ 와 變調周波數 f 를 比較하여 τ 를 求할 수 있다. 여기서 캐리어 壽命 τ_c 는 LD의 調斷周波數에 注入된 캐리어가 自然放出에 의하여 소멸되는 平均時間을 말한다.

以上과 같은 方法으로 C 와 τ_s 를 求하기 爲하여는 利用하는 領域에서 HD가 T 에 의하여 영향을 받지 않아야 한다. 그래서 그림 5와 같이 T 의 變化에 따른 HD特性을 計算한 結果, T 에 의한 영향이 거의 없음을 알았다. 그러므로 바이어스電流 I_0 를 I_{th} 보다 낮게 해주면 HD 變調遮斷 周波數는 C 와 ω 에 포함된 τ_s 에 의하여 決定된다.

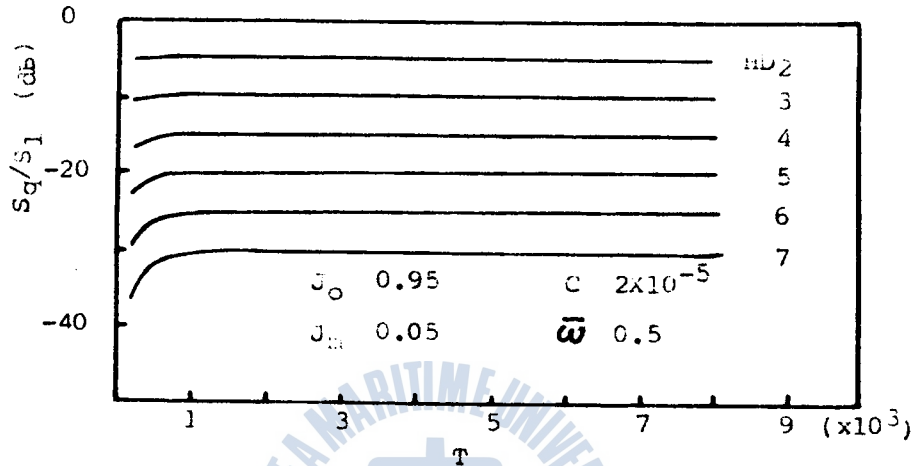


Fig.5. Calculated harmonic distortions with T parameter as a variable at the bias level $0.95 I_{th}$.

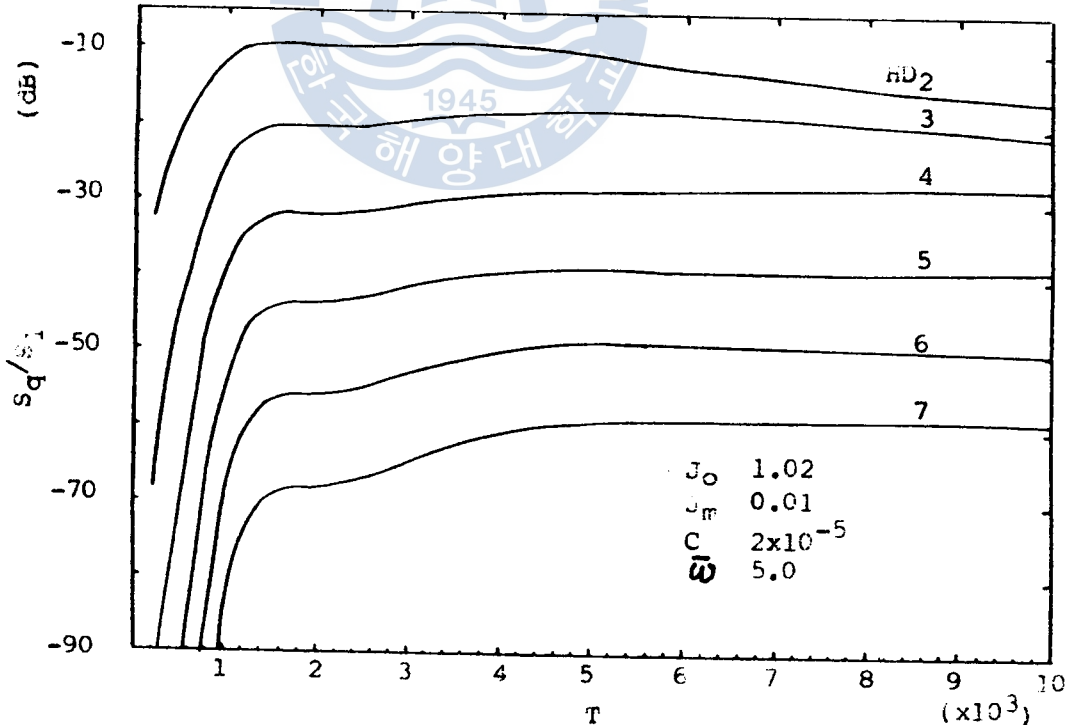


Fig.6. Calculated harmonic distortions with T parameter as a variable at the bias level $1.02 I_{th}$.

그러나, 그림 6과 같이 바이어스를 I_{th} 이상으로 한다면 T 는 HD 특성에 큰 영향을 주게 된다. 그리고, 바이어스 I_{th} 이상에서, HD 변조遮斷周波數는 C 의 영향을 받지 않고, T 에 의해 크게 영향을 받으므로, 이 領域을 利用하면 係數 T 의 값을 推定할 수 있고, $T = \tau_s / \tau_p$ 의 關係를 利用하여 光子壽命 τ_p 를 求할 수 있다. 그림 7은 $J_0 = 1.02$, $J_m = 0.01$, $C = 2 \times 10^{-5}$ 의 條件下에서의 HD周波數 特性이며, 實線은 T 를 1,000, 點線은 T 를 10,000으로 하여 計算한 것이다.

이 그림에서 低周波領域에서는 T 의 영향이 없으나 遮斷周波數는 크게 영향을 받는다는 것을 알 수 있다. 共振狀파크 附近은 C 와 擴散係數 D 에 의하여 크게 영향을 받기 때문에, 결국 T 의 推定은 I_{th} 이상의 바이어스에서 HD周波數遮斷特性을 利用하여야 한다.

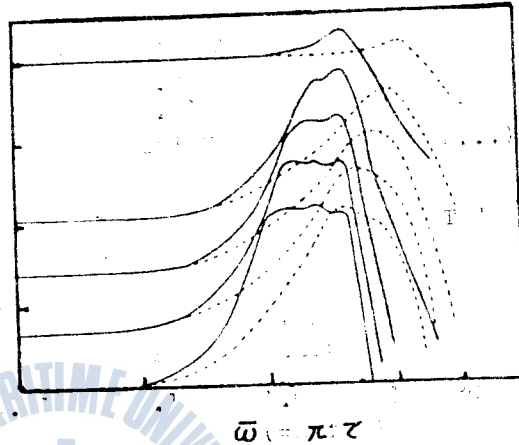


Fig.7. Frequency characteristics of harmonic distortions with T as a parameter under $J_0 = 1.02$, $J_m = 0.01$ and $C = 2 \times 10^{-5}$, where — $T = 1000$, $T = 10000$.

3. 半導體레이저의 動作係數의 決定

3-1. 實驗

HD 특성을 利用하여 LD의 係數值를 決定하는데 必要한 實驗資料는 NEC 製の AlGaAs系 NLD 3108P LD를 實驗하여 얻은 것이다.

實驗에 使用된 LD의 $I-L$ 특성은 그림 8과 같이 直線性이 良好하며, I_{th} 는 71mA이다. 高調波 特性 實驗에 使用된 裝置는 그림 9와 같이 構成하였다. 信號 發生기는 960 MHz, 스펙트럼 분석기는 1.8 GHz의 대역폭을 갖는 것을 利用하였고, 바이어스 特性을 보다 正確하게 測定할 수 있도록 램프(ramp) 發生기를 導入하였다. 그리고, LD/APD 사이의 光路는 光파이버를 使用하였다.

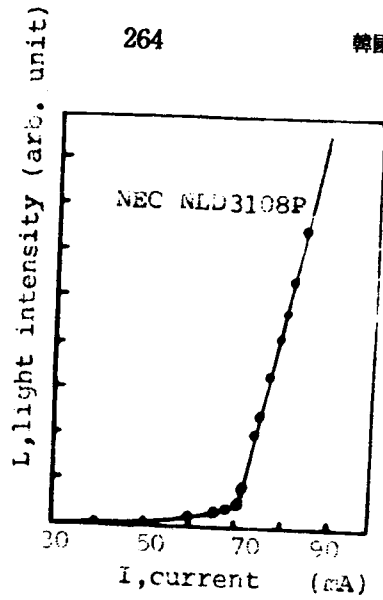


Fig.8. Light output vs. current characteristics of the LD used in measurements.

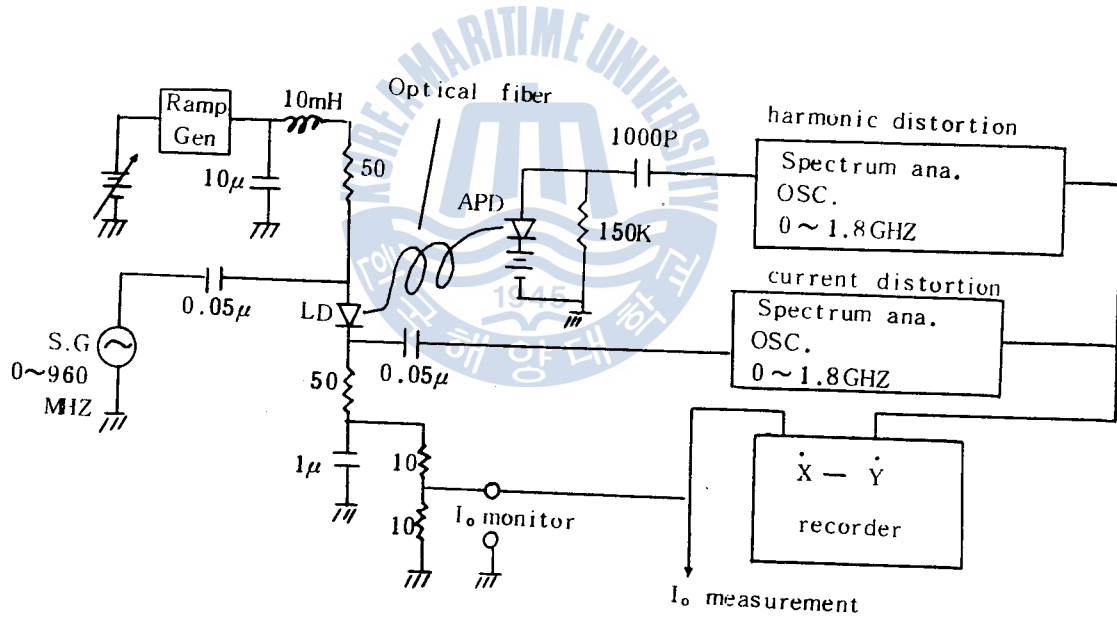


Fig.9. Block diagram of the apparatus used for measuring the harmonic distortions of laser diodes.

3-2. 係數値의 決定과 檢討

3-2-1. 自然放出光係數 C

앞서 理論解析에서 提示한대로 C를 求하기 爲하여 바이어스 전류와 신호 전류의 진폭은 각각 J_0 0.95, J_m 0.05 로 하였다. 그림 10은 實驗値와 理論計算을 중첩시킨 것으로써, C 값은

(1~3) × 10⁻⁴ 임을 알 수 있다. 實驗時 5 個의 모우드가 發振했으므로, 實際의 C 값은 (2~6) × 10⁻⁵ 程度이다. 그림에서 $\bar{\omega} \sim 0.2$ 附近에서 아랫쪽으로 구부러지고, $\bar{\omega} \sim 0.4$ 程度에서는 반대로 윗쪽으로 올라가는 것은 共振狀現象과 LD/APD 사이에 사용한 광파이버의 단면에서 反射되어 混入된 光의 干涉에 依한 것으로 생각된다. 遮斷周波數 附近에서 實驗値가 흔들리는 것도 역시 反射光 때문에 일어나는 現象인 것이다. 그러나 C 값의 추정에는 별로 큰 영향을 주지는 않았다.

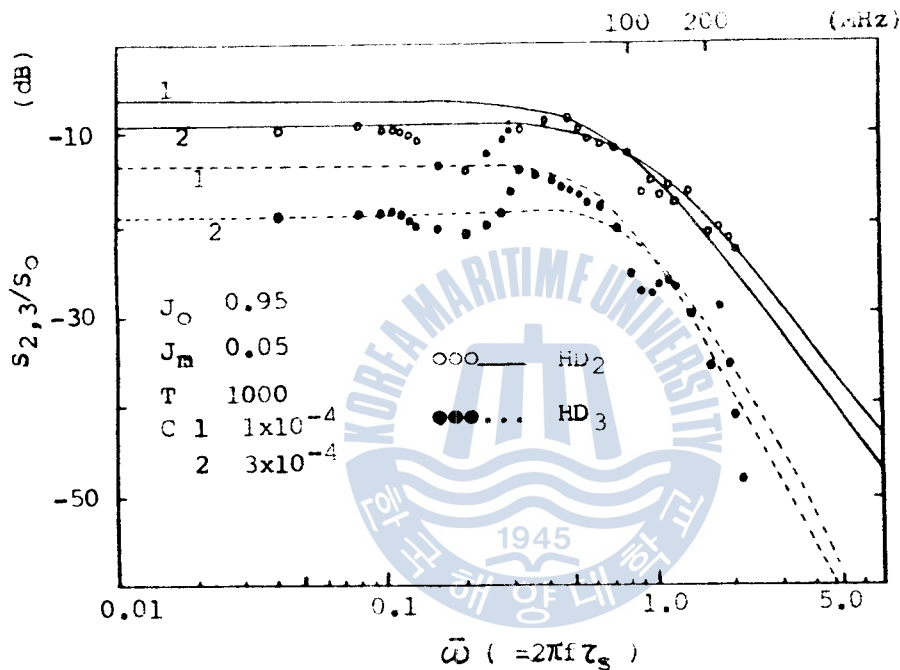


Fig.10. Frequency characteristics of harmonic distortions curve-fitted with measured and calculated values under J_0 0.95 and J_m 0.05 with $C(1 \times 10^{-4}$ and $3 \times 10^{-4})$ as a parameter, where assumed that $T = 1000$.

古典的인 電磁氣 理論으로 부터 誘導한 C 係數의 理論式은 다음과 같다.¹²⁾

$$C_i = \xi_i \frac{\lambda_c^4}{4\pi^2 n_i^3 V \Delta\lambda} \dots\dots\dots (23)$$

이 理論式을 利用하기 爲하여는 여러 가지의 係數값이 미리 決定되어야 하는 不便이 있다. 스트라이프構造의 AlGaAs/GaAs DH-LD의 I-L 特性的 實驗値와 理論値를 比較하여 決定한 C의 값은 (0.5~3) × 10⁻⁵ 이었고, 이 LD의 各 파라메터를 (23) 式에 代入하여 구한 C 값은 1.3 × 10⁻⁵ 이었다.¹³⁾

마이어스 電流를 I_{th} 에 놓으면 HD₃ 가 최소값을 보이는 것을³⁰⁾ 利用하여, HD₃ 마이어스

特性的 理論値와 實驗値를 比較하여 求한 C값은 2×10^{-5} 이었다.¹⁴⁾ 이로서 C는 $10^{-4} \sim 10^{-6}$ 程度임을 알 수 있으나, LD에 따라서는 C를 10^{-3} 으로 잡고 解析을 하는 경우도 있다.³²⁾

本 論文에서 새로운 方法에 依하여 求한 C값은 以上에서 檢討한 여러 方法에 依한 것과 잘 맞는 것을 알 수 있다.

3-2-2. 캐리어壽命 τ_s

그림 11은 J_0 0.95 J_m 0.1 에서 HD의 周波數 特性에 對한 理論値와 實驗値를 중첩시킨 것이다. 그림에서

$$\bar{\omega} = \omega \cdot \tau_s = 2\pi f \tau_s \dots\dots\dots (24)$$

의 關係를 갖고 있으므로 $\bar{\omega}$ 의 값과, 實驗値의 f 를 比較함으로써, τ_s 는 求해진다.

그림 11의 $\bar{\omega} = 0.5 \sim 1.0$ 범위에서 심한 굴곡 현상을 보이는 것은 共振狀周波數에 接近함에 따라 생기는 周波數에 依한 찌그러짐, C의 영향, D의 영향, 광파이버의 단면 반사광 등이 복합적으로 작용하여 일어나며, 여기에서는 차단주파수 부근을 利用하고 있으므로, 큰 問題는 없다.

그림 11에서 f 200MHz 와 $\bar{\omega}$ 1.4 가 일치하므로 式(24)에 의하여 τ_s 는 1.11ns 로 계산되며, 그림 10에서도 같은 方法으로 τ_s 를 구할 수 있다. 그림 10에서는 f 200 MHz 와 $\bar{\omega}$

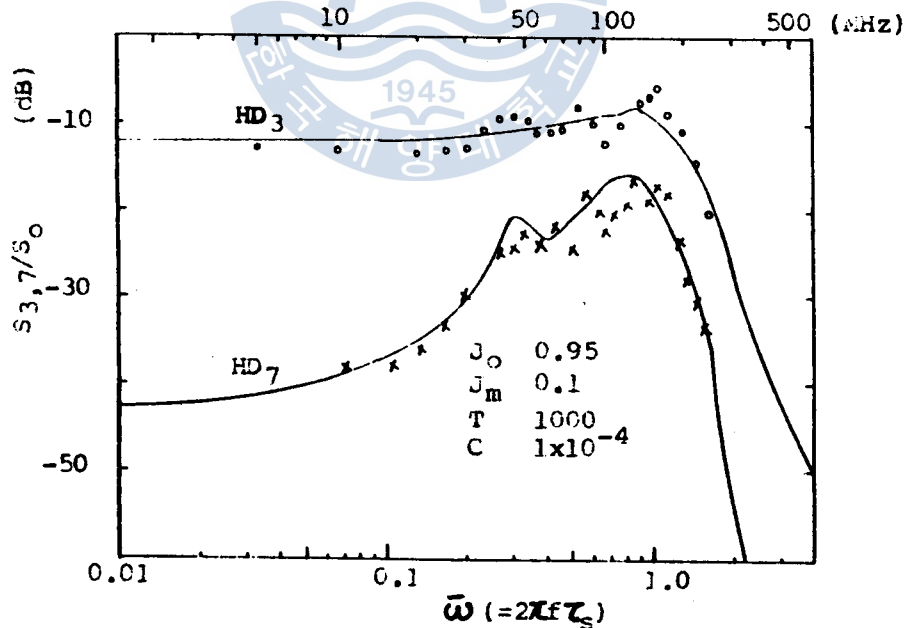


Fig.11. Frequency characteristics of 3rd and 7th harmonic distortion curve-fitted at cut-off frequency for the determination of τ_s value.

1.6나 일치하므로 τ_s 는 1.27 ns 가 적당, 이보다 이 LD의 τ_s 값은 ~ 1.2 ns 정도임을 알 수 있다.

τ_s 는 GaAlAs系 LD가 2~3 ns 정도, InGaAsP系 LD는 1~2 ns 정도인 것으로 알려져 있다.¹⁵⁾ 그러나, 실제로는 明白한 差異를 보여 주는 일 없다.

τ_s 가 캐리어 高度로부터 獨立的이라면 다음 式으로 부터 求할 수 있다.¹⁵⁾

$$\tau_d \cong \tau_s \ln \{ (I_0 + I_p) / (I_0 + I_p + I_{th}) \} \dots\dots\dots (25)$$

式 25를 利用하여 求한 τ_s 의 값은 GaAlAs DH-LD의 경우 1.1~1.6 ns였고, 波長 1.3 μ m의 InGaAsP DH-LD의 測定値는 1.9~2.2 ns 정도였다.¹⁶⁾ 한편, 같은 방법으로, InGaAsP/InP DH-LD는 溫度 變化에 따라 測定한 τ_s 의 값은 低溫(140°K)에 1.1~8 ns, 293°K에서 1.5~3.1 ns였다.³³⁾

光子壽命 τ_p 는 다음 式으로 表現된다.¹⁸⁾

$$\tau_p = (n_1 / C) (\alpha + \frac{1}{L_r} \ln \frac{1}{R})^{-1} \dots\dots\dots (26)$$

式 26에 依하여 求한 τ_p 는 0.01~2 ps 정도이고,¹⁶⁾ 이 값을 共振狀 周波數의 計算式

$$\omega_d^2 = \frac{1}{\tau_s \tau_p} (I_0 / I_{th} - 1) \dots\dots\dots (27)$$

을 利用하여 求한 τ_s 의 값은 2.1~3.1 ns였다.¹⁶⁾

지금까지 說明한 發光 遲延 時間을 利用한 方法은 1 ns 以下의 짧은 時間을 正確하게 測定하여야 하고, 共振狀 周波數를 利用하는 方法은 數 GHz의 變調 實驗을 하여야 하는 복잡함을 안고 있다.

高調波 저크러짐 特性을 利用한 τ_s 의 推定 方法은 바이어스 $I_0 = I_{th}$ 에서의 HD₃ 周波數 特性 曲線 기울기 (단, 低周波數 變調)를 利用한 例가 있으며, 이에 의해 求한 AlGaAs DH-LD의 τ_s 값은 1.59 ns였다.¹⁷⁾

이로서 τ_s 는 1~3 nsec 정도임을 알 수 있고, 本 論文에서 I_{th} 以下의 低 바이어스 領域에서의 HD 周波數 遮斷 特性을 利用하여 求한 ~ 1.2 ns는 以上の 여러 方法에 依하여 求해진 값들과 거의 비슷한 것을 알 수 있다. 그리고, 本 論文에서 提示한 方法은 200~300 MHz의 變調 實驗으로 可能하고, 1 ns 정도의 짧은 시간 측정 등 여러 短點을 해결할 수 있다.

3-2-3. 光子壽命 τ_p

係數 Γ 는 레이저 規格化함으로써 생기는 것이며, LD의 周波數 應答 特性에 큰 영향을 미친다. Γ 가 높을수록 共振狀 周波數가 높아진다.³⁴⁾ 즉, Γ 의 값이 크면 LD의 變調 遮斷 周波數도 높아진다.

모든 Γ 의 값은 τ_s 와 τ_p 의 값을 알면 자동적으로 구해지지만, τ_s 만 알고 있는 경우에는

T의 값을 결정함으로써, τ_p 의 값도推定할 수 있다.

그림 12에서 실선은 $T=10^3$, 점선은 $T=10^4$ 인 경우를 계산한 것이며, 實驗値와 比較해 보면 T는 1000 정도임을 알 수 있다. τ_s 가 ~ 1.2 nsec인 것을 利用하면 τ_p 는 ~ 1.2 psec가 된다. 이 값은 3-2·2에 檢討한 바와 같이 式(26)에 依하여 求한 $0.91 \sim 2$ ps와 比較해 볼 때 믿을만한 값임을 알 수 있다. 물론 本 論文에서 提示한 方法은 式(26)에서와 같이 LD의 物理的 파라메터의 값을 必要로 하지는 않지만, τ_s 의 값은 미리 決定되어 있어야 한다.

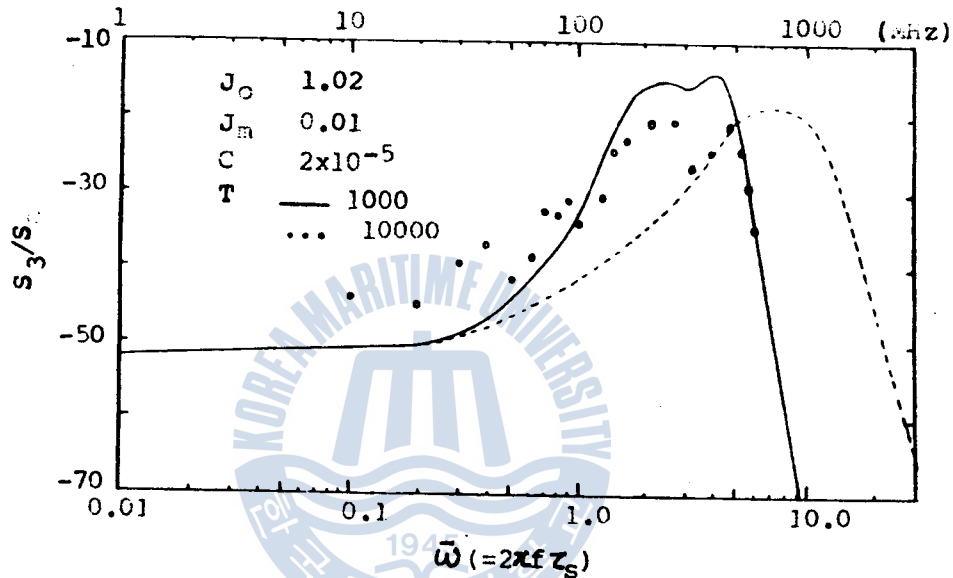


Fig.12. Frequency characteristics of the 3rd harmonic distortion curve-fitted at cut-off frequency for the determination of T value.

그림 12에서 共振狀 피크가 맞지 않는 것은 그 附近이 C와 D에 의하여 큰 영향을 받기 때문이며, 低周波領域에서 實驗値가 흔들리는 것은 光파이버 단면의 反射光의 영향을 받은 것으로 생각된다. 앞으로 實驗裝置 構成時 光파이버 단면 반사광의 보상 方法이나, 레이트 方程式에 光파이버 단면 반사광에 對한 項을 넣는 등의 研究가 必要할 것으로 생각된다.

4. 變調찌그러짐 特性

4-1. 變調信號電流찌그러짐의 影響

아날로그 變調時 信號電流에 찌그러짐이 있으면 光出力의 HD成分을 크게 變化시킨다.^{30,34)} $J_0 < 1.1$ 에서는 信號電流의 찌그러짐이 HD에 미치는 영향은 크지 않지만, $J_0 > 1.1$ 에서

는 바이어스가 높으면 높을수록 HD를 크게 증가시킨다. 그리고, HD의 次數가 높을수록 그 영향 또한 커진다.

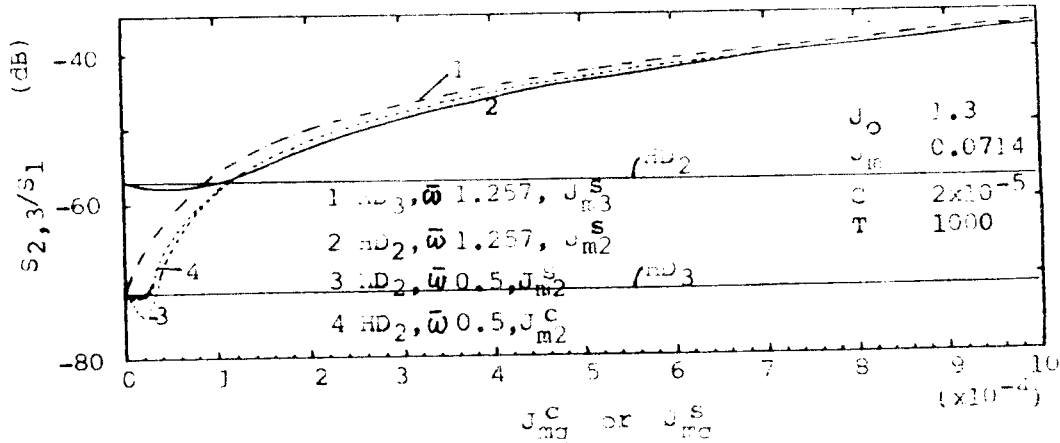


Fig.13. Effect of the current distortion of the modulated signal to 2nd and 3rd harmonic distortion at various cases.

그림 13은 信號電流 찌그러짐의 量에 따른 HD의 變化 程度 및 信號電流의 高調波 成分의 次數와 光出力 HD 次數와의 關係를 調査한 것이다. 그림 13에서와 같이 바이어스 전류가 $1.1 I_{th}$ 보다 큰 高바이어스 領域에서는 信號電流의 高調波 찌그러짐이 $-80 \text{ dB} [20 \log_{10}(J_{mq}^S / I_{th})]$ 이상이면, 周波數에는 거의 영향을 받지 않고 HD가 信號電流 찌그러짐에 左右됨을 알 수 있다. 그리고, 信號電流의 찌그러짐을 J_{m2}^S 만 있다고 가정하면 HD_3, HD_4, \dots 는 전혀 발생 않고, HD_2 만 크게 증가하였고, J_{m3}^S 만 고려하면 HD_3 만 영향을 받는다는 것을 알았다. 즉, 高바이어스 영역에서는 信號電流 찌그러짐의 q 次 成分은 HD_q 에만 영향을 준다.

J_{m2}^S 와 J_{m2}^C 의 영향을 比較하면, 低바이어스 變調時에는 상당히 다르지만, 바이어스를 $1.2 I_{th}$ 이상으로 해 주면 그림 13에서 나타난 바와 같이 J_{m2}^S 나 J_{m2}^C 가 HD_2 에 미치는 거의 같다.

良質의 아날로그 傳送을 爲하여 $HD_{2,3}$ 를 -50 dB 이하로 제한한다면, 그림 13에서 J_{m2}^S 를 -70 dB 이하로 抑制하여야 한다는 것을 알았다.

그림 14는 商用 GaAlAs系 LD (HITACHI HLP1400)의 實驗 資料³⁵⁾와 理論值을 그린 것으로서, 100MHz 正負의 變調의 HD_2 바이어스 特性이다. 理論值은 實驗條件과 一致시키 (a)는 τ_s 의 變化에 따라, (b)는 C 및 T 의 變化에 따라 計算을 하였다.

實驗值을 보면 바이어스 $1.2 I_{th}$ 이상에서는 HD_2 가 約 -50 dB 에 고정되어 버리는 것을 보면 變調信號電流에 찌그러짐이 있음을 알 수 있고, 그림 13으로 부터 J_{m2}^S 가 約 -72 dB 임을 알았다. 그래서 그림 14의 計算에는 J_{m2}^S 에 -72 dB 의 predistortion을 하였다.

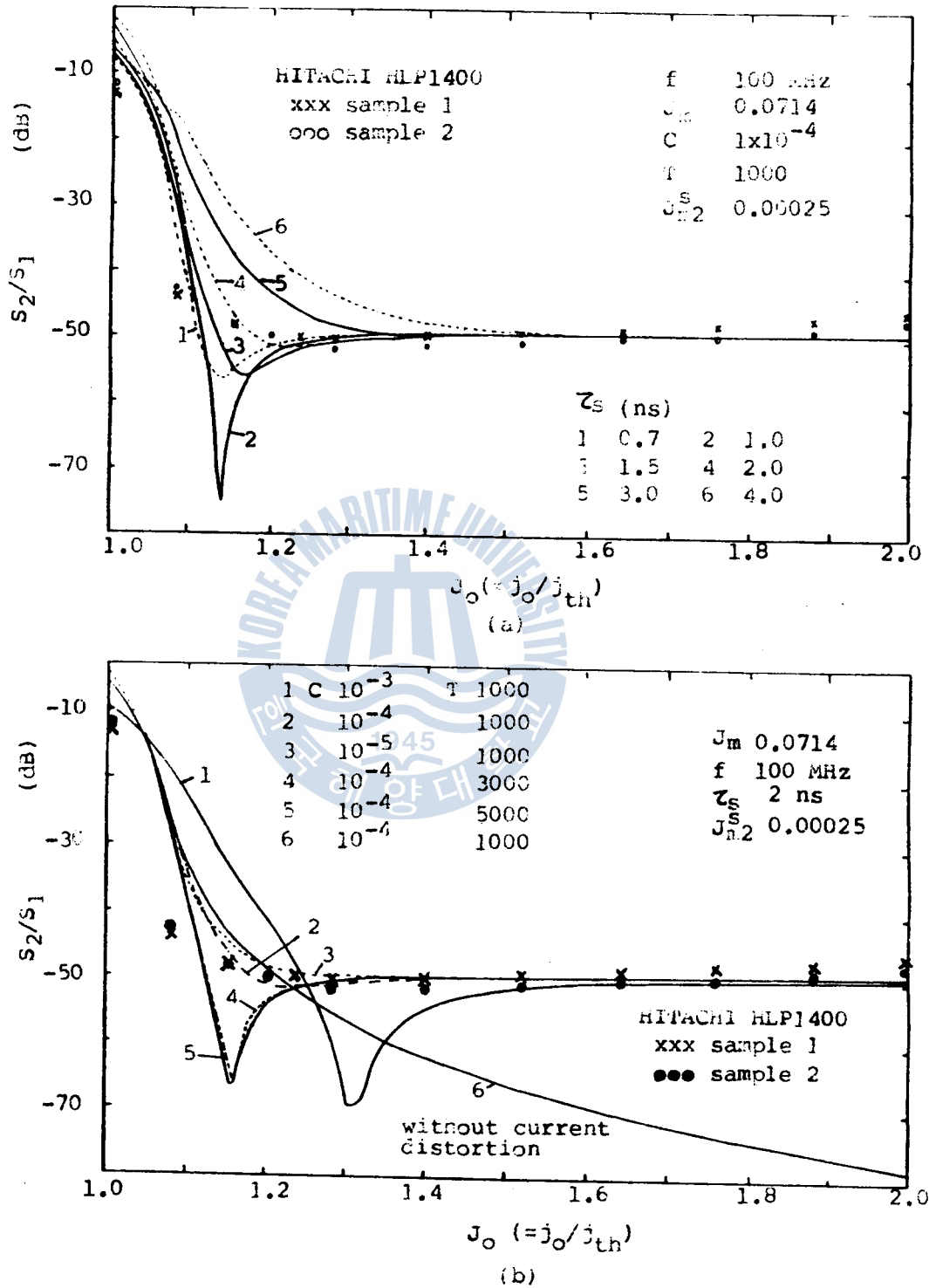


Fig.14. Bias characteristics of the 2nd harmonic distortion with (a) τ_s . (b) C and T as a parameter, and curve-fitting with published experimental data of commercial laser diodes.

그림 14(a)에서 이 LD의 τ_s 는 $\sim 2\text{ns}$ 이고, (b)에서 T 는 ~ 1000 , C 는 $10^{-4} \sim 10^{-5}$ 정도임을 알 수 있고, 이 係數值들은 3장에서 檢討한 값과 잘 맞는 것이다.

4-2. 變調度의 影響

아날로그 直接光強度 變調에 있어서의 變調度(modulation depth, modulation index, modulation factor) m 은

$$m = \frac{j_m}{j_0 - j_{th}} \times 100 = \frac{j_m}{j_0 - 1} \times 100(\%) \quad (\text{단, } j_0 > 1.0) \quad \dots\dots\dots (28)$$

로 定義된다.

그림 15는 變調度에 따라 HD_2 및 HD_3 가 받는 영향을 바이어스 別로 計算한 것이다. 이때 周波數는 $\omega 1.0(\sim 100\text{MHz})$ 으로 하였다.

HD_2 를 -50dB 로 제한하면 100MHz 의 變調를 爲하여는 $j_0 1.1$ 에서 $m = 15\%$ 以下, $j_0 1.3$ 에서 $m = 90\%$ 以下, $j_0 1.5$ 에서 $m = 100\%$ 以下가 되어야 함을 알 수 있다.

實際의 變調信號와 雜音 S/N 比는 變調度 m 에 依存하는 dc S/N 比보다 낮다. 그리고, 아날로그 傳送系에 있어서 傳送의 質은 HD 와 S/N 比에 依存하게 된다.²⁷⁾ 變調度가 높으면 S/N

比가 높아지지만, 그림 15에 나타난 바와 같이 變調度를 높여가면 HD 가 증가하고, $m > 70\%$ 에서는 RIN (relative intensity noise)이 급격히 증가하므로,^{7,36)} 傳送의 質이 떨어진다. HD , S/N 비, RIN 의 條件을 同時に 만족시키기 위하여 m 은 $50 \sim 70\%$ 를 現實的인 값으로 잡는다.²⁷⁾

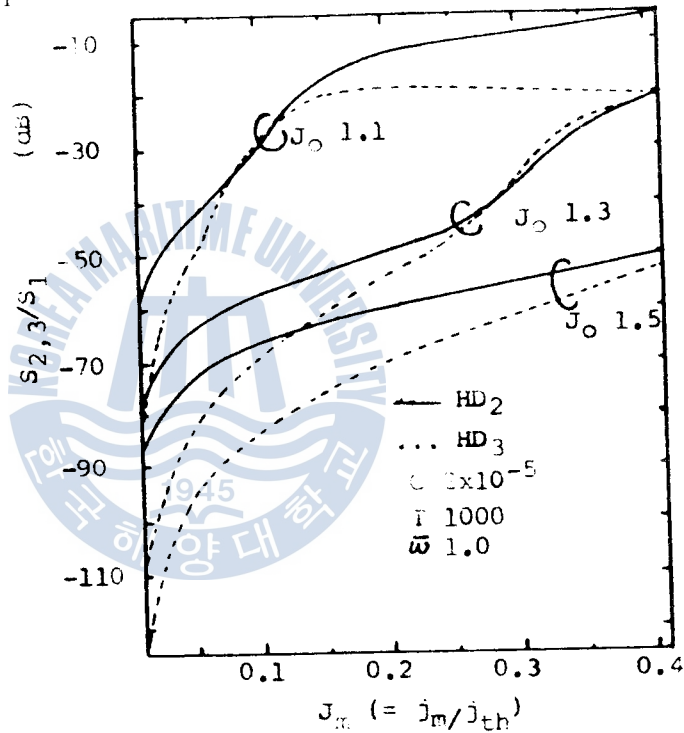


Fig.15. Calculated 2nd and 3rd harmonic distortions with J_m as a variable at bias levels of $1.1 I_{th}$, $1.3 I_{th}$ and $1.5 I_{th}$.

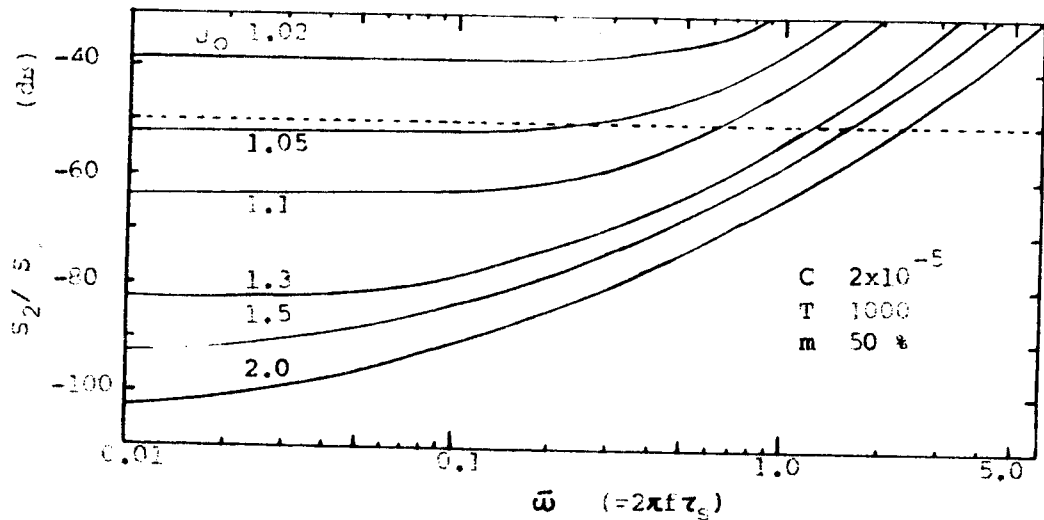


Fig.16. Frequency characteristics of the 2nd harmonic distortion with J_0 as a parameter, where modulation depth is 0.5.

그림 16은 $m = 50\%$ 의 경우, 바이어스별로 HD_2 의 주파수 특성을 계산한 것이다. $m = 50 \sim 70\%$ 범위에서 아날로그 비데오 전송을 하려면 바이어스가 $1.1 I_{th}$ 이상이어야 함을 알 수 있다.各種 LD에 대한 실험값을 보면 $1.1 I_{th}$ 이하의 바이어스에서 RIN이 급격히 증가하므로,⁷⁾ RIN을 고려하여도 바이어스는 $1.1 I_{th}$ 이상되어야 한다.

변조상한주파수도 그림 16에서 나타난 바와 같이 바이어스가 높을수록 높아짐을 알 수 있다. 바이어스 $1.5 I_{th}$ 에서의 변조상한은 $\bar{\omega} \sim 1.5$ 까지 이므로, $\tau_s \sim 2ns$ 이면 120 MHz 정도의 변조대역폭을 갖게 될 것이다.

LD 자체 출력의 HD_2 와 광파이버를 통한 광 출력의 HD_2 를 비교하면, 광파이버 통과 후 약 10~20 dB劣化되며, J_m 이 클수록 열화되는 정도가 크다.³⁷⁾ 그러므로, S/N비가 허용하는 범위에서 변조도를 낮춰 변조를 하면, 광파이버를 통과하면서 생기는 HD의 증가를 줄일 수 있고, 변조대역폭도 늘일 수 있다.

5. 結 論

半導體레이저 고調波찌그러짐 특성의 수치 계산은 Fourier 급수展開법을 이용하였다. 먼저 고調波찌그러짐 특성의 이론解析을 하고, 이를 이용하여 LD의 동작係數를 결정하였으며, 연구를擴張시켜서 實際 아날로그 변조時 문제가 되는 변조찌그러짐 특성을 檢討하였다.

(1) HD 주파수 특성을 이용하는 LD 동작係數의 새로운 결정 방법을提示하였고, 各係數의 값을求하였다.

參 考 文 獻

1. 中村道治：半導體レーザ，光通信ハンドブック，朝倉書店，東京，pp.157～181(1982)
2. 覽具博義：半導體レーザの動作原理と基本的な特性，電子科學，pp.13～21.(1981. 6)
3. 平尾元尙等：光通信用半導體レーザ，日立評論，Vol.65, No.10, pp.39～44.(1983.10)
4. 濱田弘喜等：半導體レーザの 卷，エレクトロニクス，pp.39～44,(1984. 5)
5. 趙成俊譯，木村・大原：光通信，오음社，서울，pp.202～209.(1984)
6. 持田・宮田：畫像傳送，日本電子通信學會誌，Vol.63, No.11, pp.1134～1139(1980.11)
7. K.Sato: Intensity noise of Semiconductor laser diodes in Fiber Optic Analog Video Transmission, IEEE J. of Quantum Electron., Vol. QE-19, No.9, pp.1380～1391,(1983. 9)
8. 玄永康一等：結合度可變共振器型半導體レーザの變調特性の解析，日本電子通信學會論文誌，Vol. J67-C, No.1, pp.126～133,(1984.1)
9. S.Akiba, K.Sakai & T.Yamamoto: Direct modulation of InGaAsP/InP DH lasers, Electron·Lett., Vol.14, No.6, pp.197～198.(1978)
10. R.A.Linke: Direct Gigabit Modulation of injection lasers—structure—dependent Speed limitations, IEEE J. of Lightwave Tech., Vol. LT-2, No.1, pp.40～43.(1984. 2)
11. L.Figueroa, C.W.Slayman & H.Yen: High-frequency Characteristics of GaAlAs Injection Lasers, IEEE J. of Quantum Electron., Vol. QE-18, No.10, pp.1718～1727,(1982.10)
12. Y. Suematsu & K. Furuya: Theoretical spontaneous emission factor of injection lasers, Trans. IECE of Japan, Vol. E60, No.9, pp.78～83,(1977.9)
13. Y.Suematsu, S.Akiba & T.Hong: Measurement of spontaneous emission factor of AlGaAs DH semiconductor lasers, IEEE J. of Quantum Electron., Vol. QE-13, No.8, pp.596～600,(1977.8)
14. 高稿伸夫等：注入電流モデルによるレート方程式と發振 スペクトル，日本電子通信學會論文誌，Vol. J66-C, No.9, pp.684～685.(1983. 9)
15. K.Konnerth and C.Lanza: Delay between current pulse and light emission of a GaAs injection laser, Appl. Phys. Lett., Vol.4, pp.120～121.(1964)
16. S. Akiba, Y. Itaya, K. Sakai, T. Yamamoto and Y. Suematsu: Measurement of carrier lifetimes in InGaAsP/InP DH lasers, Trans. IECE of Japan,

- Vol. E61, No.3, pp.124 ~ 128. (1978. 3)
17. 洪彰禧 : 高調波찌크리깅 特性을 利用한 半導體레이저의 注入電荷壽命 測定, 韓國海洋大學 船舶工學研究所 論文集, 제 2 권, pp.61 ~ 71.(1983)
 18. J.Vilms, L. Wandinger and K. L. Klobn : Optimization of the GaAs injection laser for maximum CW power output, IEEE J. of Quantum Electron., Vol. QE-2, pp.80-83.(1966)
 19. 洪彰禧 : 半導體 레이저의 直接變調特性, 東京工業大學 博士學位論文, pp.35 ~ 36.(1981)
 20. H.Kressel & J.K.Butler : Semiconductor lasers and Heterojunction LEDs, Academic Press, New York, pp.555 ~ 580.(1977)
 21. G.Arnold, P.Russer & K. Petermann : Modulation of laser diodes, Topics in Applied Physics, Vol.39, Springer-Verlag, New York, pp.213 ~ 242.(1982)
 22. D. T.Cassidy : Comparison of rate-equation and Fabry-Perot approaches to modeling a diode laser, Applied Optics, Vol. 22, No. 21, pp.3321 ~ 3326. (1983.11)
 23. J.Buus : Models of the static and dynamic behavior of Stripe Geometry Lasers, IEEE J. of Quantum Electron., Vol. QE-19, No.6, pp.953 ~ 969. (1983. 6)
 24. P.Russer & G. Arnold : Direct modulation of semiconductor injection lasers, IEEE Trans. of Microwave Theory & Tech., Vol.30, No.11, pp.1809 ~ 1821, (1982.11)
 25. D.Marcuse & T.Lee : On Approximate Analytical Solutions of Rate Equations for Studying Transient Spectra of Injection Lasers, IEEE J. of Quantum Electron., Vol. QE-19, No.9, pp.1397 ~ 1406.(1983)
 26. J.Buus & M.Danielsen : Carrier diffusion and Higher order transversal modes in spectral dynamics of the semiconductor laser, IEEE J. of Quantum Electron., Vol. QE-13, No.8, pp.669 ~ 674.(1977. 8)
 27. K. Peterman & G. Arnold : Noise and distortion characteristics of semiconductor lasers in optical fiber communication systems, IEEE J. of Quantum Electron., Vol. QE-18, No.4, pp.543 ~ 555.(1982.4)
 28. K.Furuya, Y.Suematsu & T.Hong : Reduction of resonance-like peak in direct modulation due to carrier diffusion in injection laser, Applied Optics, Vol.17, No.12, pp.1949 ~ 1952.(1978. 6)

29. K.Kishino, S. Aoki & Y. Suematsu : Wavelength variation of 1.6 μ m wavelength BH GaInAsP/InP lasers due to direct modulation, IEEE J. of Quantum Electron., Vol. QE-18, No.3, pp.343~351.(1982. 3)
30. T.Hong, Y.Suematsu, S.Chung & M.Kang : Harmonic Characteristics of laser diodes, J. of optical Comm., Vol.2, No.3, pp.42~48,(1982. 3)
31. T.Hong & Y.Suematsu : Harmonic distortion in direct modulation of injection lasers, Trans. of IECE of Japan, Vol. E62, No.3, pp.142~147,(1979. 3)
32. A. SV. Sudb ϕ & L.Bjerkan : Nonlinear modulation response and relaxation oscillations in semiconductor injection lasers, IEEE J. of Quantum Electron., Vol. QE-19, No.10, pp.1542~1551,(1983.10)
33. K. Stubkjaer, M.Asada, S.Arai & Y.Suematsu : Spontaneous recombination, Gain and refractive index variation for 1.6 μ m wavelength InGaAsP/InP lasers, Japanese J. of Applied Physics, Vol.20, No.8, pp.1499~1505,(1981. 8)
34. 孫珍鉉·柳大根·洪彰禧 : 半導體레이저의 高調波찌그러짐 特性, 韓國海洋大學 船舶工學研究所 論文集, 제 3 집, pp.33 ~ 47.(1984)
35. HITACHI Co. : Optoelectronic devices databook, pp.29~32.(1983. 3)
36. 佐藤健一等 : 廣帶域アナログ光傳送技術, 研究實用化 報告, 33 卷, 3 號, pp.457 ~ 473, (1984)
37. 楓和久等 : 半導體レーザーと 多モード光ファイバを用いた アナログ傳送系の歪の検討, 信學技報, OQE-83-9, pp.65~70.(1983)